

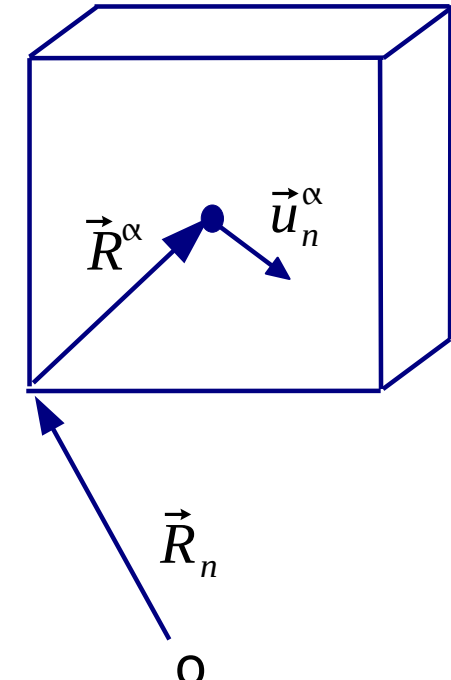
Phonons in a 3D Lattice

Potential: $\Phi = \Phi(\dots, \vec{R}_\alpha^n + \vec{u}_\alpha^n, \dots)$

$$= \Phi(\dots, \vec{R}_\alpha^n, \dots) + \frac{1}{2} \sum_{ij\alpha\beta nm} \frac{\partial^2 \Phi}{\partial R_{\alpha i}^n \partial R_{\beta j}^m} \cdot u_{\alpha i}^n u_{\beta j}^m + \dots$$

$$M_\alpha \ddot{u}_{\alpha i}^n = \sum_{m\beta j} \Phi_{\alpha i \beta j}^{n m} \cdot u_{\beta j}^m$$

$$\Phi_{\alpha i \beta j}^{n m} = \frac{\partial^2 \Phi}{\partial R_{\alpha i}^n \partial R_{\beta j}^m}$$



Coupling constants: Force constant at atom n, α in i -direction
for displacement of atom m, β in j -direction

$$\Phi_{\alpha \beta}^{n m} = \Phi_{\alpha \beta}^{n-m 0} \quad \text{Translational invariance}$$

$$\sum_{m\beta j} \Phi_{\alpha \beta}^{n m} = 0 \quad \text{no force, if } u_j^m = d \quad \text{for all } m, \beta, j, \\ \text{i. e. rigid shift of crystal}$$

3D-Equation of Motion

(i, j hidden in arrow)

$$M_{\alpha} \ddot{\vec{u}}_{\alpha}^n + \sum_{m\beta} \Phi_{\alpha\beta}^{nm} \vec{u}_{\beta}^m = 0$$

plane wave
solutions:

$$\vec{u}_{\alpha}^n = \frac{1}{\sqrt{M_{\alpha}}} \vec{u}_{\alpha}(\vec{k}) \exp(i(\vec{k} \cdot \vec{R}_{\alpha}^n - \omega t))$$

↑ independent of n

$$-\omega^2 \vec{u}_{\alpha} + \sum_{\beta} D_{\alpha\beta} \vec{u}_{\beta} = 0$$

Dynamical matrix

$$D_{\alpha\beta} = \sum_m \frac{1}{\sqrt{M_{\alpha} M_{\beta}}} \Phi_{\alpha\beta}^{n0} \exp(i \vec{k} \cdot \vec{R}_m)$$

$$(\mathbf{D} - \omega^2 \mathbf{1}) \vec{u} = 0$$

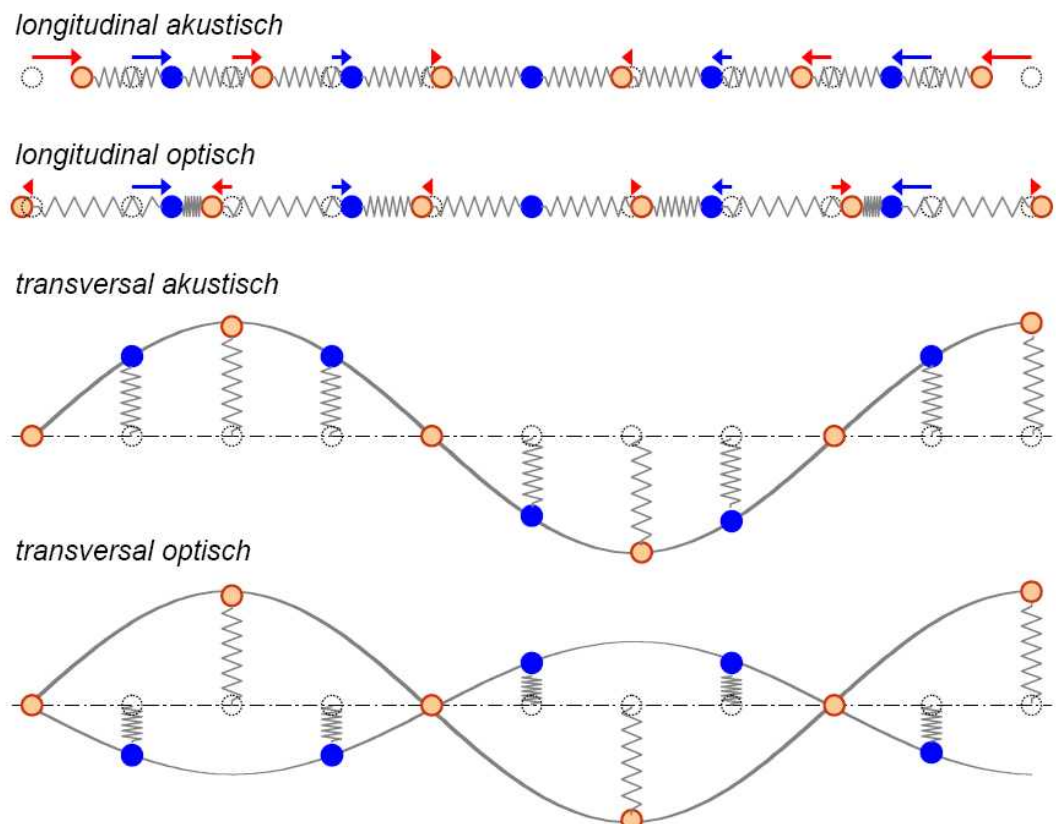
\mathbf{u} has $3r$ components

$D_{a\beta}$: Force on atom a in ref. unit cell,

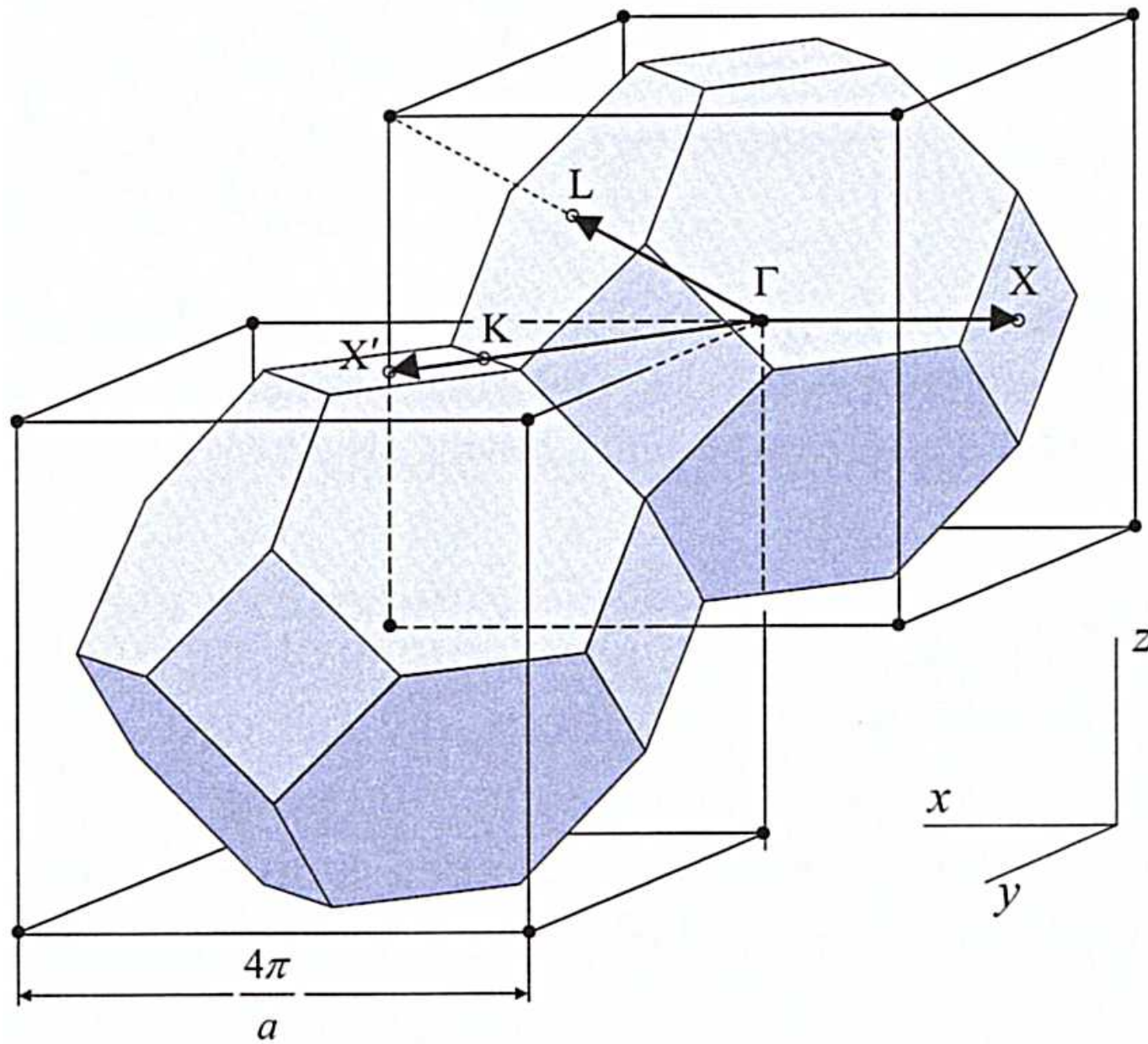
resulting from phase-shifted elongations of atoms β in cells m

- Matrix \mathbf{D} is symmetric
- Eigenvalues yield $\omega(\mathbf{k})$
- Eigenvectors describe displacements (polarisation vectors)
uncoupled, normal modes – called Phonons

- 3 acoustic branches
- $3(r-1)$ optical branches
- transverse modes $\vec{u} \perp \vec{k}$
- longitudinal modes $\vec{u} \parallel \vec{k}$



Two neighboring FCC Brillouin zones



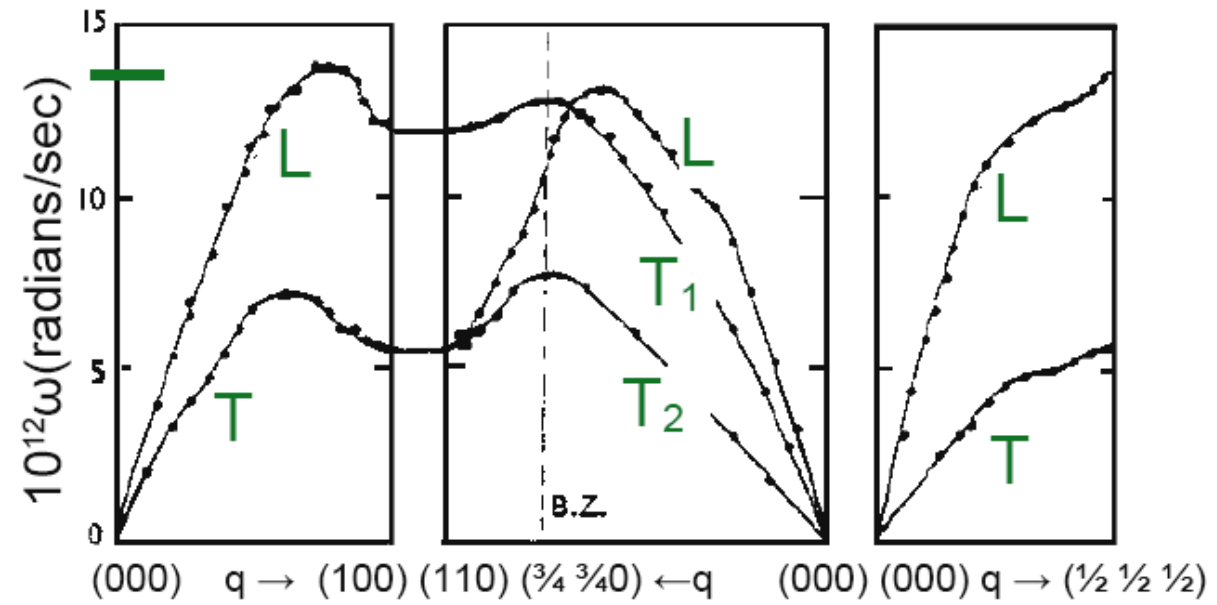
Phononen-dispersion

Inelastische Neutronenstreuung

Pb, Cu sind fcc \rightarrow 1 Atom in prim. Zelle \rightarrow nur akustische Zweige

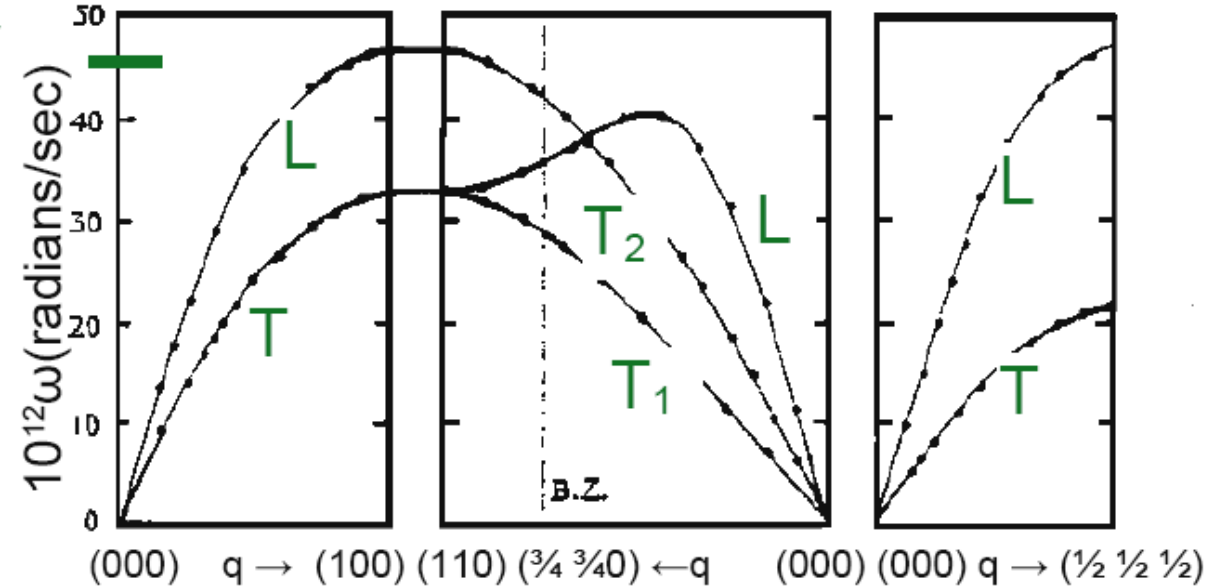
9meV

Pb



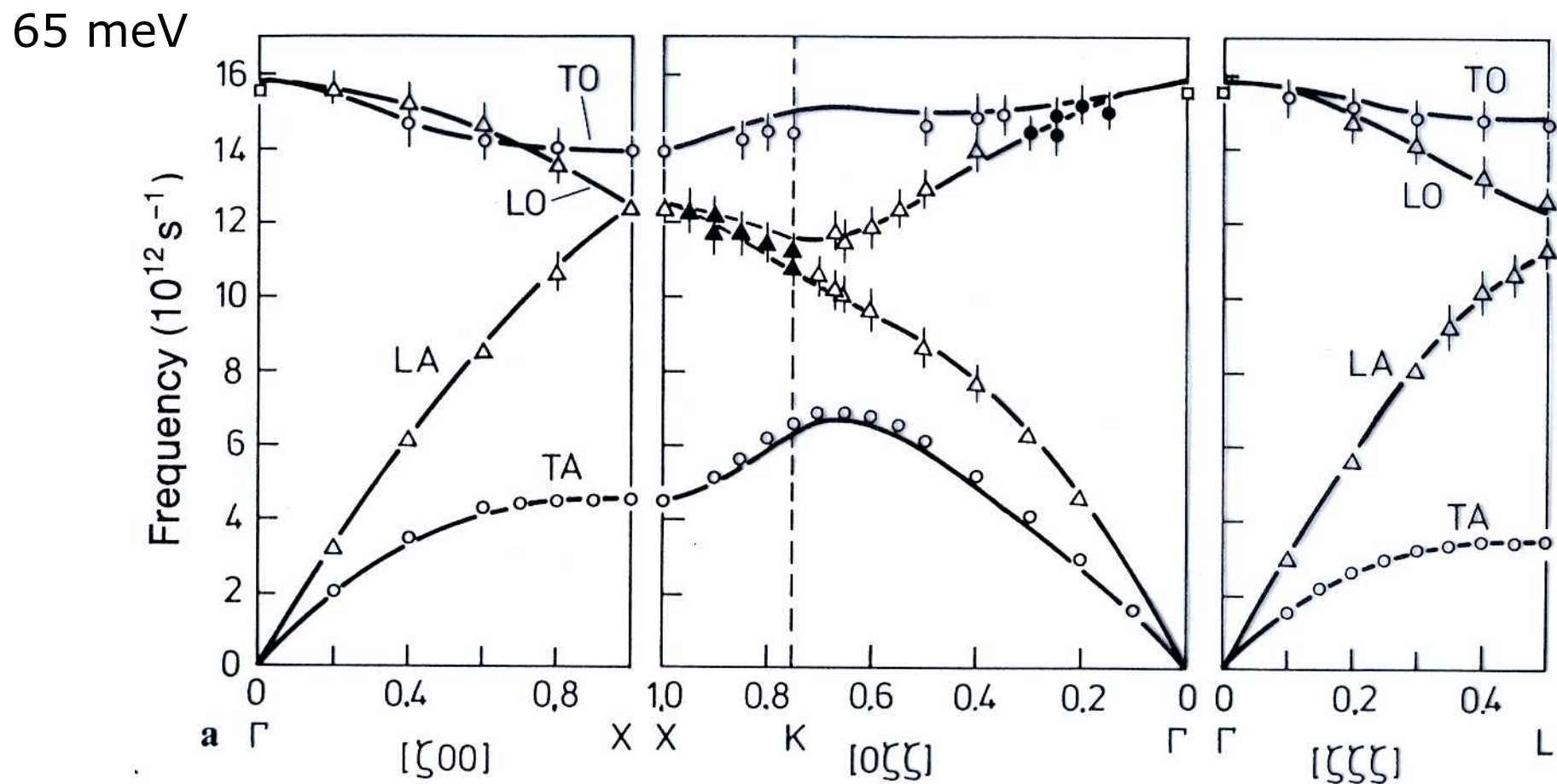
30 meV

Cu



Pb data: Brockhouse et al.,
Phys. Rev. 128, 1099 (1962)
Cu data: Svensson et al.,
Phys. Rev. 155, 619 (1967)

Silizium: optische & akustische Zweige



$$\zeta := k \frac{a}{2\pi}$$

TA entartet in [100], [111]

NaJ

J: Z=53

Na: Z=11

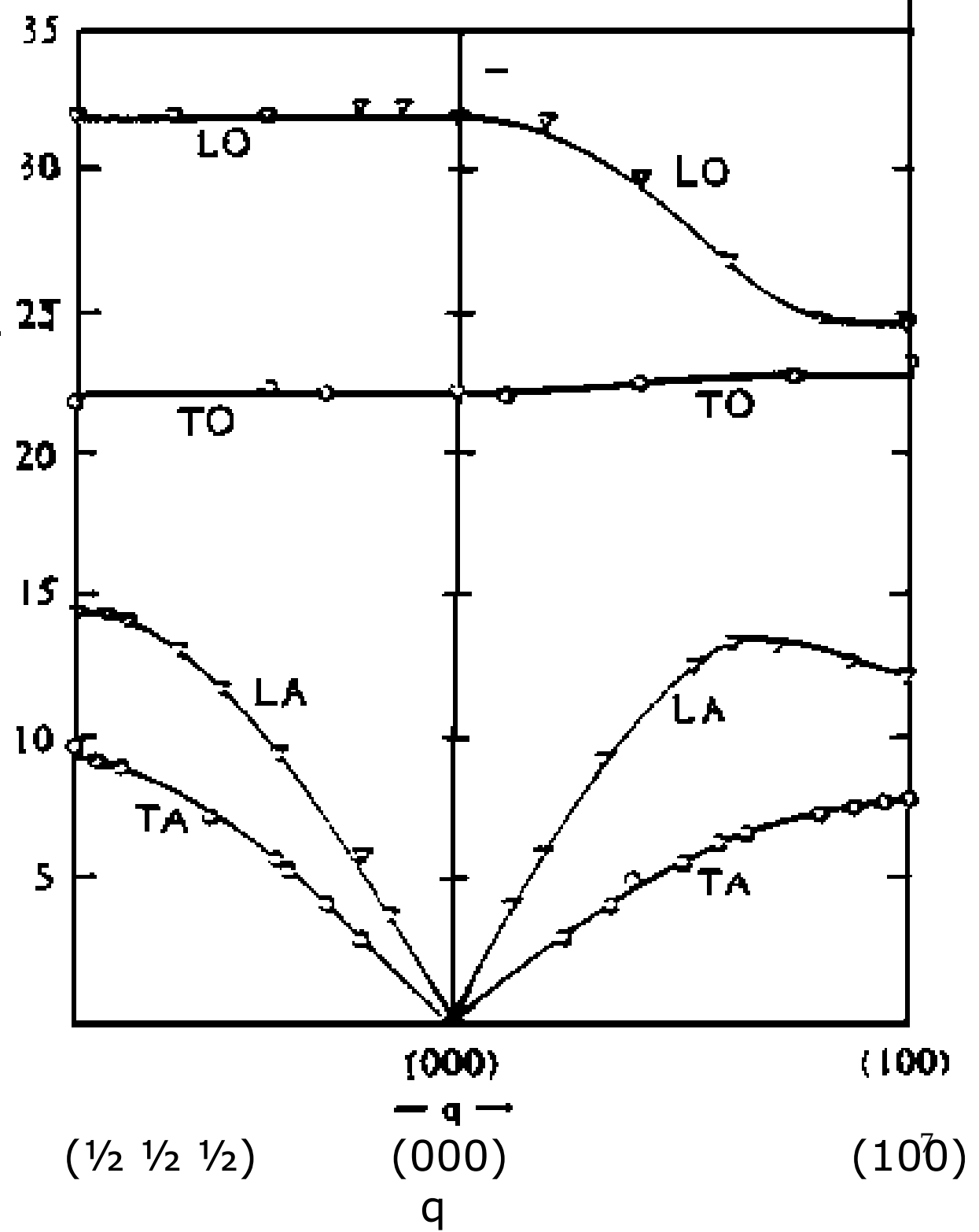
$\omega_{Optisch} \gg \omega_{Akustisch}$

Longitudinal, Transverse

Optical, Acoustic

Data taken at 100 K

Woods et al., Phys. Rev. **131**, 1025 (1963)



Quantisierung der Gitterschwingungen

- $3nN$ Gitterschwingungsmoden, charakterisiert durch ω, \mathbf{k}, s
- entkoppelte harmonische Oszillatoren $E_{\vec{k}s} = (n_{\vec{k}s} + \frac{1}{2}) \hbar \omega_{\vec{k}s}$
- Sprachregelung:
 - statt 'Oszillator ist n -fach angeregt' sagt man
 - ' n Phononen vom Typ s mit Wellenvektor \mathbf{k} sind vorhanden'
- Warum? Ist das nicht unnötig kompliziert?
 - Nein, denn in Streuexperimenten verhalten sich Phononen als **Quasiteilchen**
- Bsp.: Neutron mit E, \mathbf{p} trifft Probe, anschließend E', \mathbf{p}' mit

Energieerhaltung

$$E' - E = \sum_{\vec{k}s} \hbar \omega_{\vec{k}s} \Delta n_{\vec{k}s}$$

Erhaltung des 'Kristallimpulses'

$$\vec{p}' - \vec{p} = - \sum_{\vec{k}s} \hbar k \Delta n_{\vec{k}s} + \hbar \vec{G}$$

Quasiimpuls / Kristallimpuls

- Phonon existiert im diskreten Raum des Gitters

- Noether Theorem:

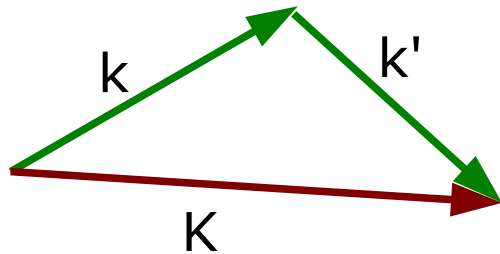
Symmetrie der Lagrangefunktion \leftrightarrow Erhaltungsgröße

◆ Translationsinvarianz des Raumes \leftrightarrow Impuls

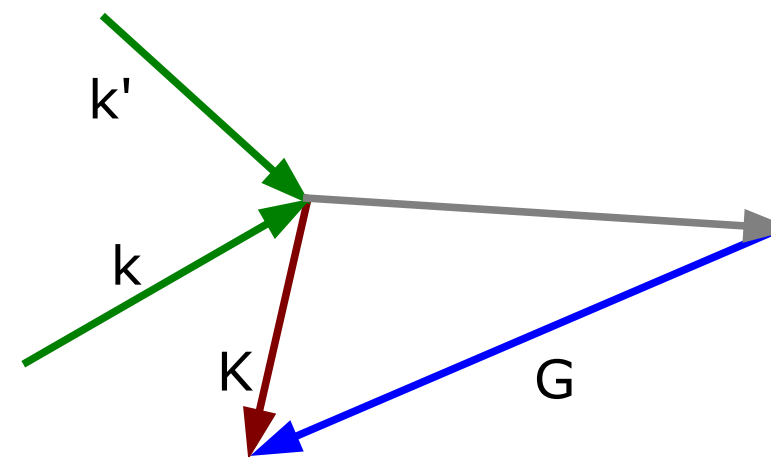
◆ Translationsinvarianz der Zeit \leftrightarrow Energie

◆ Rotationsinvarianz eines Raumes \leftrightarrow Drehimpuls

- Gitter-Translationsinvarianz: $\hbar k + \hbar k' = \hbar K + \hbar G ; \quad G \in REL$



n-Prozess



U-Prozess

n.b.
Streuprozess
erfordert
Anharmonizität o.ä.

Neutronenstreuung: E -, \mathbf{k} -Bilanzen

0-Phonon-Streuung

$$|k| = |k'|$$

$$\vec{k}' = \vec{k} + \vec{G} \quad \text{Laue-Bedingung}$$

1-Phonon-Streuung

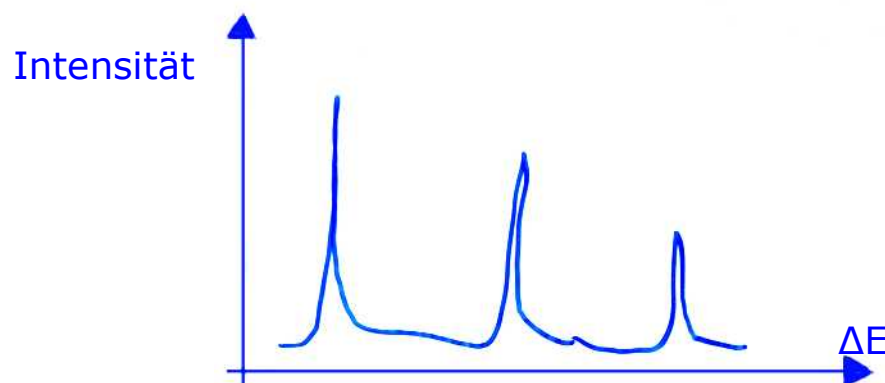
$$\frac{p'^2}{2m} = \frac{p^2}{2m} \pm \hbar\omega_s(\vec{q})$$

4 Gleichungen für \mathbf{q}, ω_s erzwingen eindeutige

$$\vec{p}' = \vec{p} + \hbar\vec{q} + \hbar\vec{G}$$

Lösung (bis auf \mathbf{G})

→ 1-Phonon-Prozesse ergeben scharfe Linien



$$\Gamma = \frac{\hbar}{\tau}$$

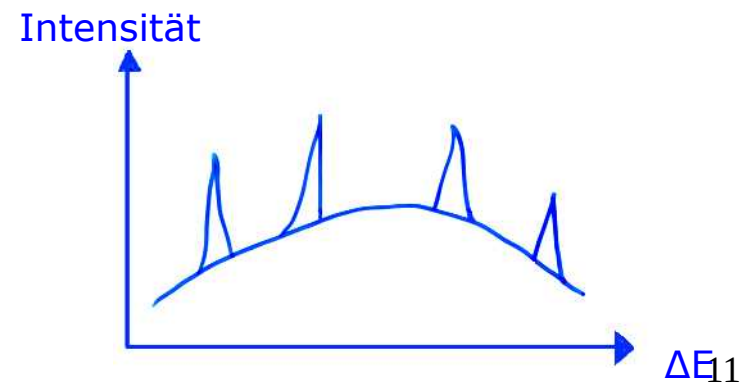
2-Phonenen-Streuung

$$E' = E + \hbar\omega_s(\vec{q}) + \hbar\omega_{s'}(\vec{q}')$$

$$\vec{p}' = \vec{p} + \hbar\vec{q} + \hbar\vec{q}' + \hbar\vec{G}$$

2 Phononenimpulse in Impulsbilanz

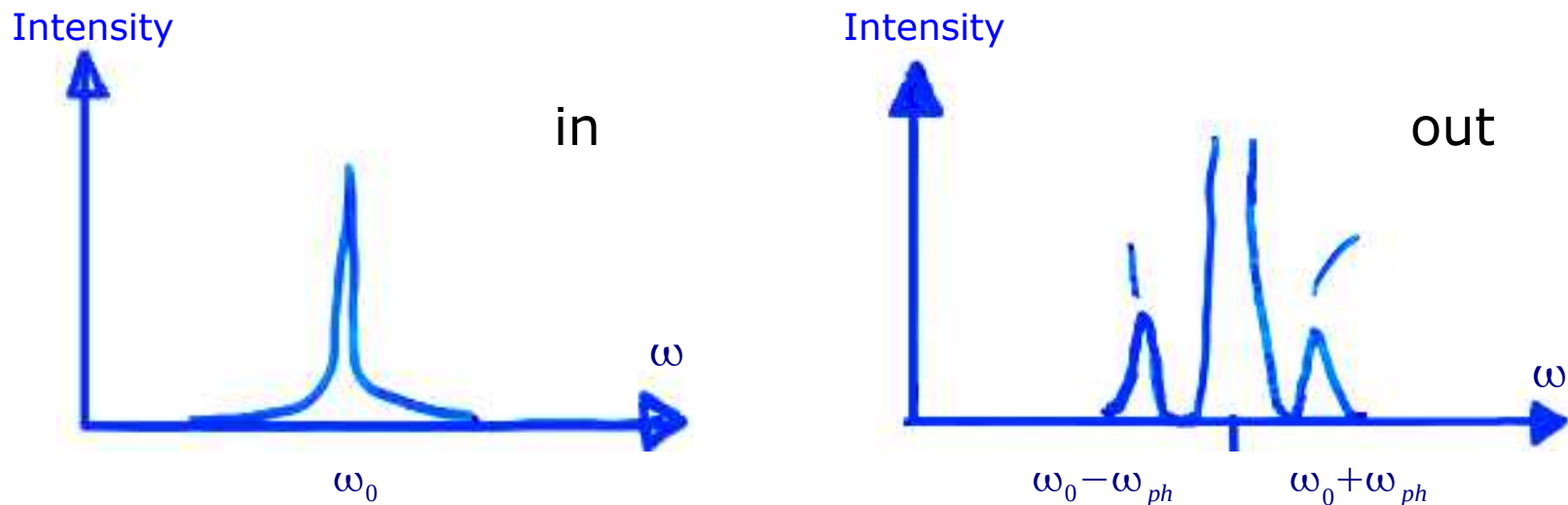
- beliebig viele Lösungen
- breiter Hintergrund in Energieverteilung der gestreuten Neutronen



Raman Spectroscopy

Thermal neutrons, phonons: similar energies (meV)
similar momenta ($1/\text{\AA}$)
(This is why neutron-phonon scattering works well)

Photons: momentum much smaller - even in VIS ($\sim 2 \text{ eV}$) range



Stokes line / anti-Stokes line
 $q = 0$

Ramanstreuung

Inelastische Lichtstreuung (1. Ordnung) zur Charakterisierung von Elementaranregungen wie Phononen, Magnonen, ...

liefert Energie und Symmetrie einer Anregung

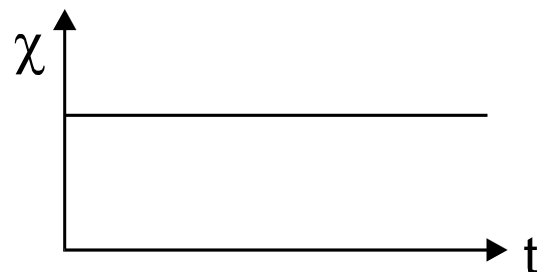
$$\text{elektronische Polarisation: } \vec{P} = \frac{\sum_i \vec{p}_i}{V} = \chi \vec{E}$$

einfallende Welle \rightarrow oszillierende Polarisation

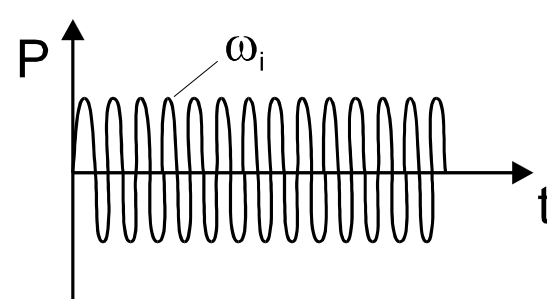
$$\rightarrow \text{Abstrahlung einer Streuwelle} \quad I \propto |\ddot{P}|^2$$

atomare Auslenkungen $u = u_0 \cos(\omega_p t)$ modulieren Suszeptibilität χ

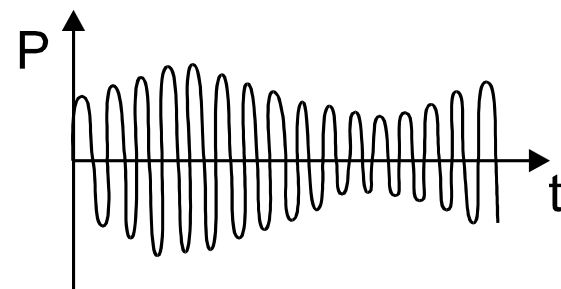
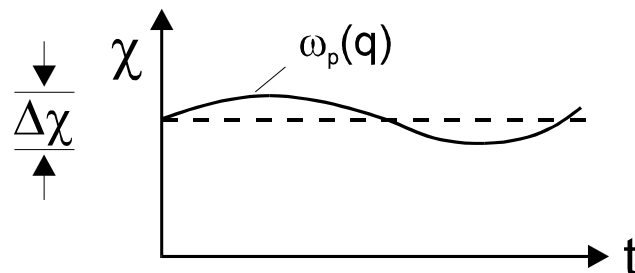
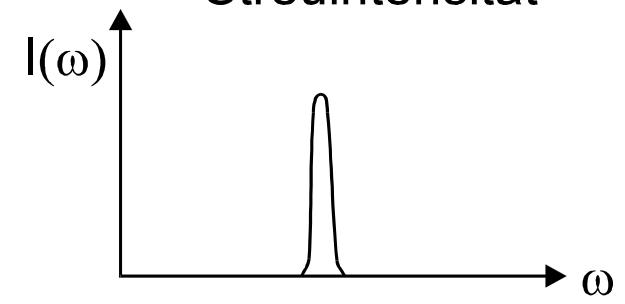
Suszeptibilität



Polarisation



Spektrum der Streuintensität

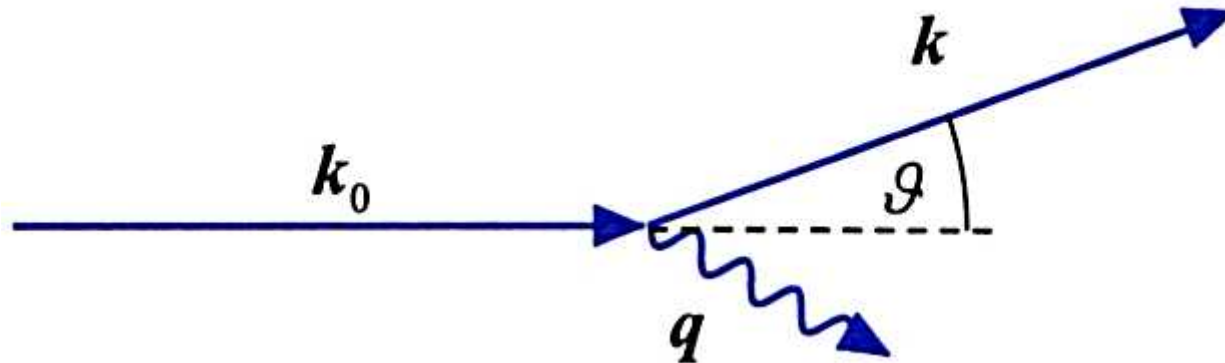


$\omega_i - \omega_p(q)$
Stokes
Linie

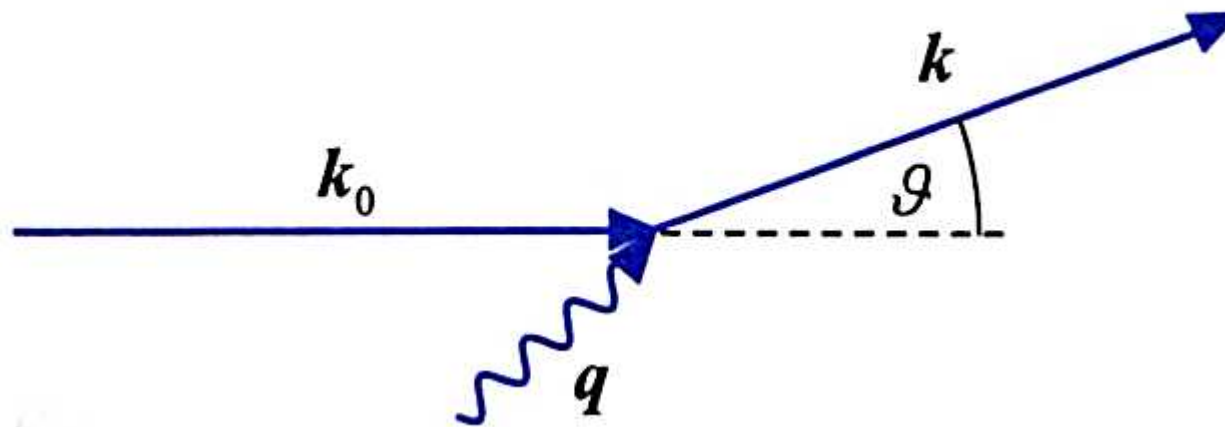
$\omega_i + \omega_p(q)$
Anti-Stokes
Linie

'AM Seitenbänder'

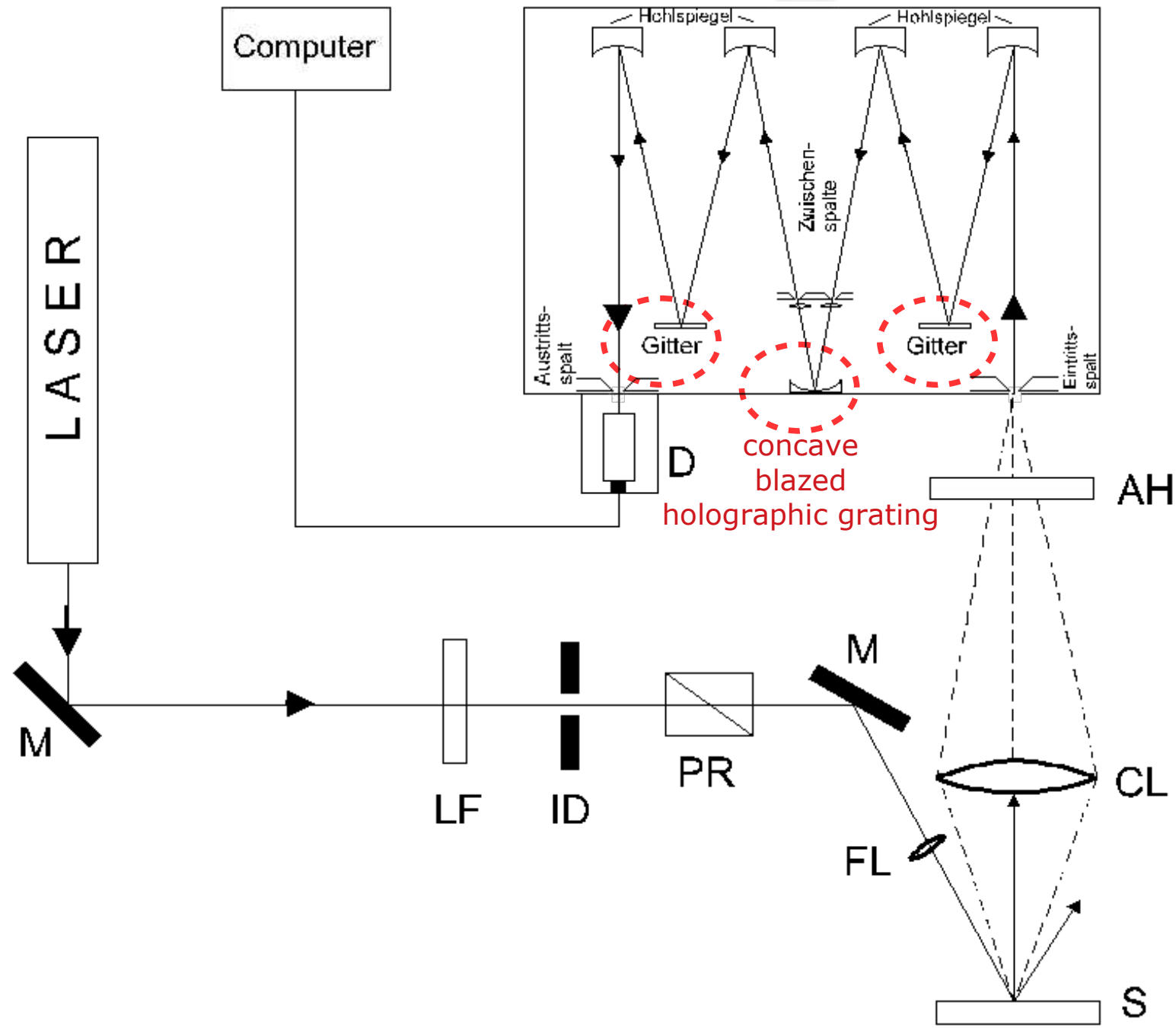
Stokes-Prozess



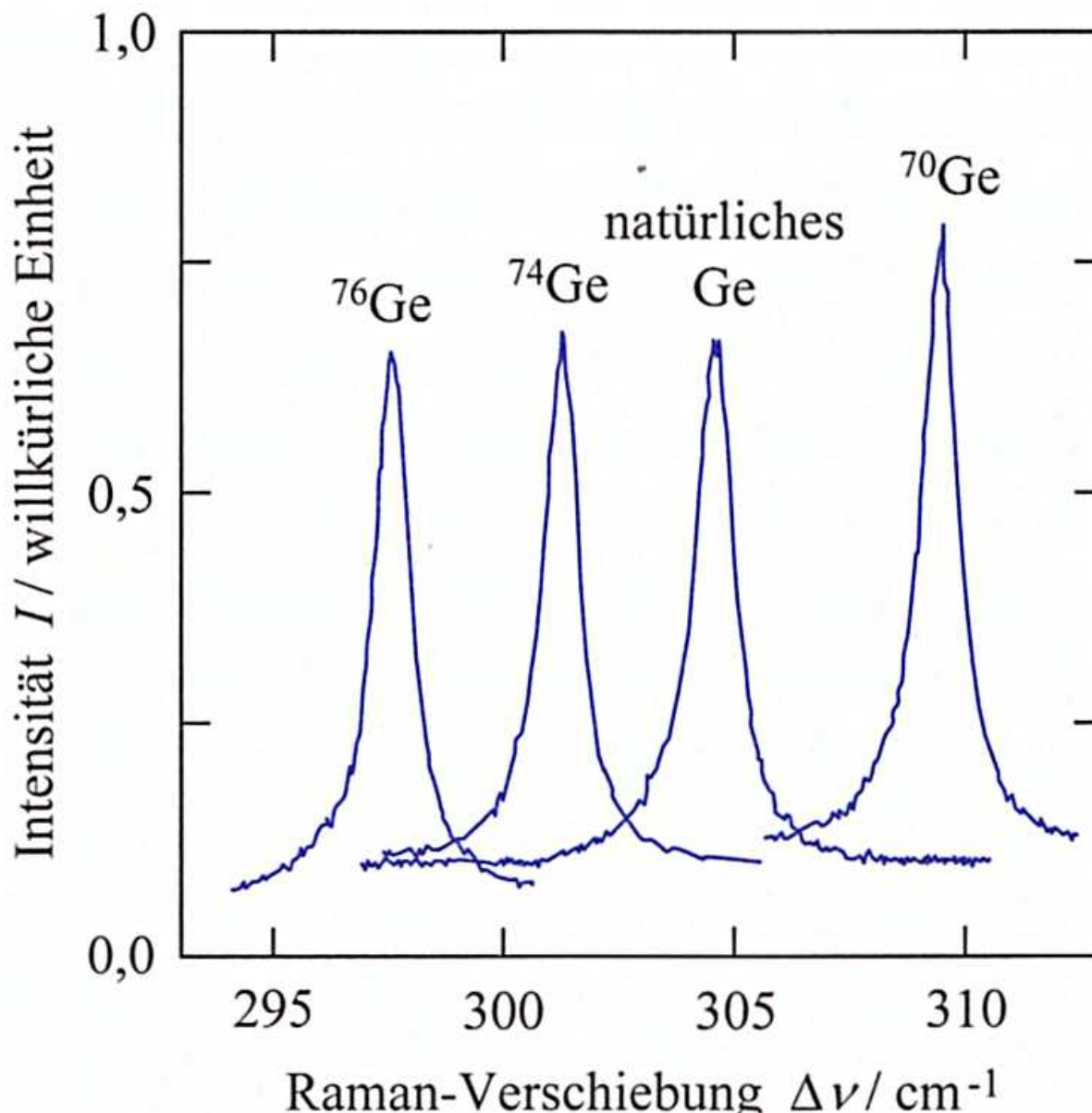
Anti-Stokes-Prozess



Dreigittermonochromator



Raman-Spektren von Ge: isotopenrein vs. natürlich



Verschiebung $\Delta\nu$
der Ramanlinien
bzgl. Rayleighlinie

ungefähr $\Delta\nu \sim M^{-1/2}$

$T = 80$ K

T. Ruf et al., Phys. Bl. 52, 1115 (1996)

$$1 \text{ cm}^{-1} = 0.123985 \text{ meV} \sim 1/8 \text{ meV}$$

Ramanspektrum von Si bei unterschiedlichen Temperaturen

